

ເອກສາຣອ້າງອີງ

1. Lakshminarayanaiah, N., "Transport Phenomena in Artificial Membranes," Chem. Rev., 65, 492, 1965.
2. Tyrrell, H.J.V., D.A. Taylor, and C.M. Williams, "The Seebeck Effect." Nature, 177, 668, 1956.
3. Hills, G.J., P.W.M. Jacobs, N. Lakshminarayanaiah, "Non-Isothermal Membrane Potential," Nature, 179, 96-97, 1957.
4. Ikeda, T., "Thermal Membrane Potential," J. Chem. Phys., 28, 1408, 1958.
5. Ikeda, T., M. Tsuchiya, and M. Nakano, "The Thermal Membrane Potential as a Function of The Apparent Ionic Transport Number of Membranes," Bull. Chem. Soc. Japan, 37, 1482, 1964.
6. Tasaka, M., S. Morita, M. Nagasawa, "Membrane Potential in Nonisothermal Systems," The Journal of Physical Chemistry, 69, 4191-4197, 1965.

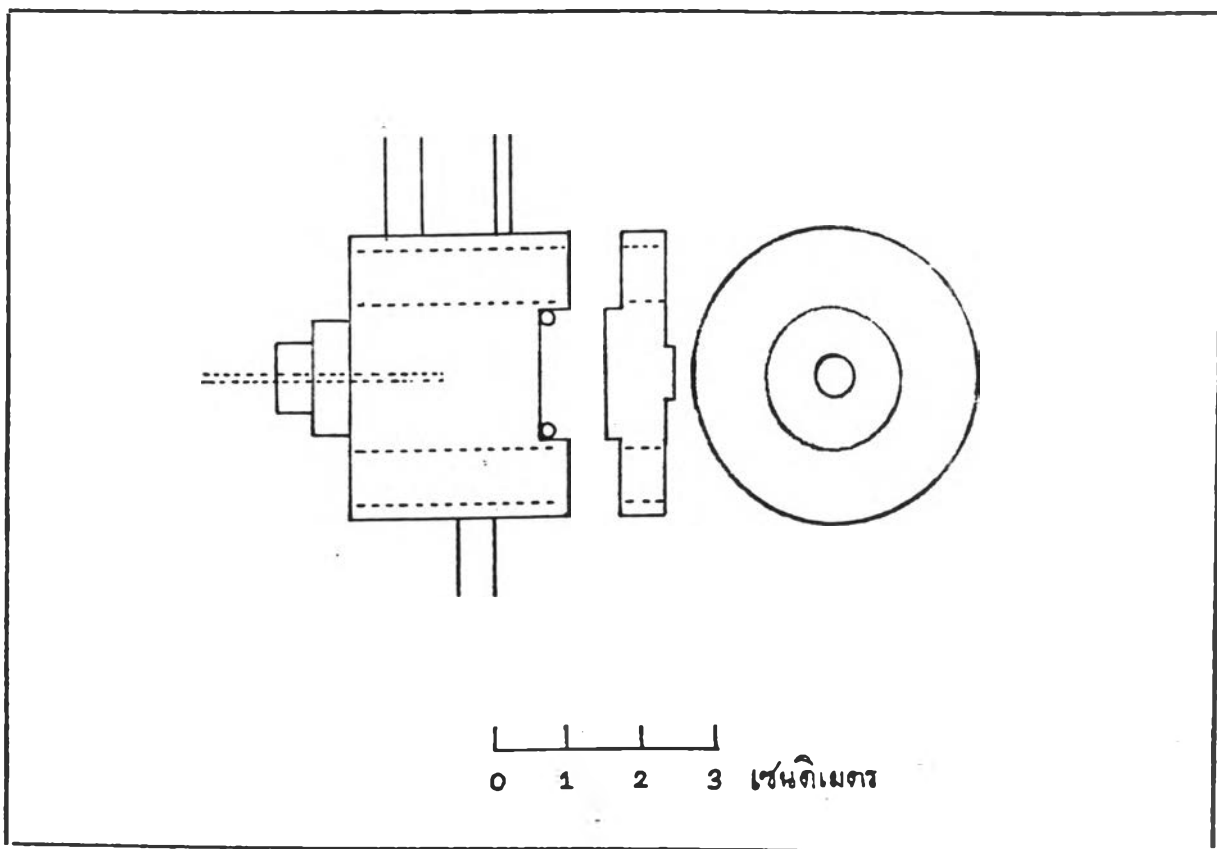
7. Forland, T., S.K. Ratkje and T. Ostvold, "Irreversibel Termodynamikk," pp.34-35, The University of Trondheim, 1975.
8. Marinsky, J.A., "Ion Exchange," pp.7-8, Marcel Dekker, Inc., New York, 1966.
9. Ives, D.J.G. and G.J. Janz, "Reference Electrode," Academic Press, New York, 1961.
10. จันทร์ฉาย จงตระการสมบัติ. "การศึกษาสตรีมมิ่งไปแทนเชือลคร่อมแผ่นแลกเบนชี่นอ่อนของสารละลายเกลือคลอไรต์." วิทยานิพนธ์ปริญญา วิทยาศาสตร์มหาบัณฑิต ภาควิชาฟิสิกส์ มหิดลวิทยาลัย จุฬาลงกรณ์มหาวิทยาลัย พ.ศ. 2526
11. Tasaka, M., K. Hanaoka, Y. Kurosawa, C. Wada, "Thermal Membrane Potential Through Charged Membrane in Electrolyte Solutions," Biophysical Chemistry. 3, 331-337, 1975.
12. Katchalsky, A. and P.F. Curran, "Nonequilibrium Thermodynamics in Biophysics," pp.81-84, Harvard University Press, Cambridge, Massachusetts, 1967.
13. Harned, H.S., B.B. Owen, "The Physical Chemistry of Electrolytic Solutions," pp. 1-41, pp. 548-567, The Guinn Co., Inc., New York, 3rd ed., 1958.

14. Tasaka, M., K. Ogawa, T. Yamazaki, "Thermal Membrane Potential across Charged Membranes in 2-1 and 1-2 Electrolyte Solutions," Biophysical Chemistry, 7, 279-283, 1978.
15. Apple II Reference Manual, "A Reference Manual for The Apple II and The Apple II Plus Personal Computers," pp. 106 - 109, Apple Computer Inc., 1981.
16. Weast, R.C., "CRC Handbook of Chemistry and Physics," CRC Press, Inc., Boca Raton, Florida, 1 st., 1988.

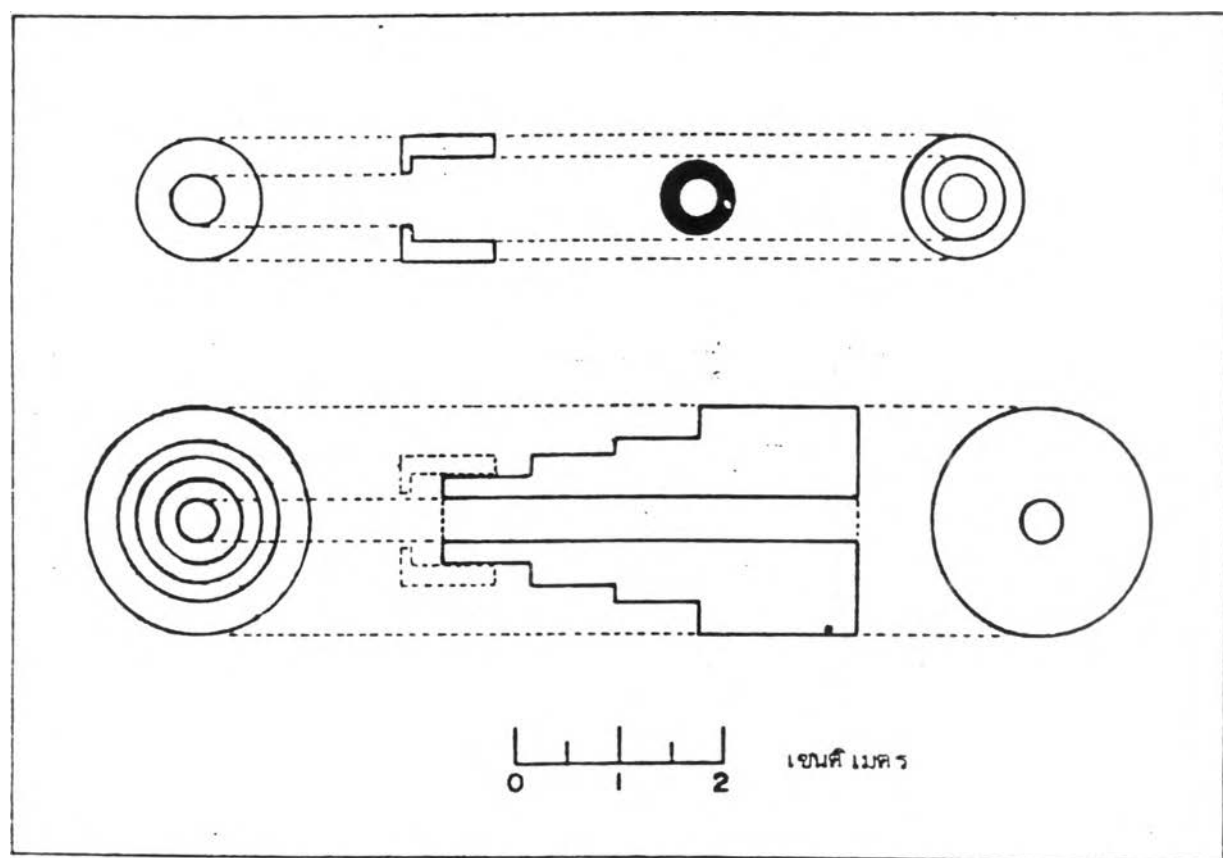
ภาคผนวก

65/1

ภาคผนวก ก.



ภาพที่ ก.1 แสดงภาพเชลล์



ภาพที่ ก.๒ แสดงร่องขีดข้าวไฟฟ้า

ภาคผนวก ๙

การหาค่าแยกตัวของสารละลายน้ำ

เนื่องจากเรามีสามารถวัดค่าแยกตัวของสารได้ แต่เราสามารถวัดค่าแยกตัวของสารที่เหลือ เช่น ในกรณีสารละลายน้ำ X สามารถเขียนสมการการแตกตัวเป็น

$$X = v_+ X^+ + v_- X^- \quad \text{---(2.6.1)}$$

$$\text{ค่า } v = v_+ + v_- \quad \text{---(2.6.2)}$$

เมื่อ v คือ จำนวนไอออนทั้งหมดที่แตกตัวจาก X

แยกตัวรวม a_z ก็เรียกว่า แยกตัวของการไม่แยกตัว (activity of undissociated)

$$a_z = (a_+)^{v_+} (a_-)^{v_-} \quad \text{---(2.6.3)}$$

แยกตัวของสารที่สองไอออน คือ a_+ มีค่า

$$a_+ = (a_z)^{1/v_+} \quad \text{---(2.6.4)}$$

ชิ่งถ้าเป็นสำหรับเกลือ 1-1 อิเล็กโกรไอล์ต ค่าแอดดิวิติจะเป็นผลคูณของ ความเข้มข้น (concentration) m และ ค่าสัมประสิทธิ์ของแอดดิวิตี้ (activity coefficients) γ เช่น $a_{\pm} = \text{m}_{\pm} / \text{m}_x$ เป็นต้น แต่ถ้ากรณีสาร X ไม่เป็น 1-1 อิเล็กโกรไอล์ต และสามารถแตกตัวดังสมการ

$$X = v_+ X^{++} + v_- X^{--} \quad \text{---(2.6.5)}$$

เนื่อง

$$v_+ Z_+ = v_- Z_- \quad \text{---(2.6.7)}$$

ได้ค่า

$$a_{\pm} = (a_x)^{1/\nu} = (\text{m}_+^{\nu_+} \text{m}_-^{\nu_-} \gamma_+^{\nu_+} \gamma_-^{\nu_-})^{1/\nu} \quad \text{---(2.6.8)}$$

คิดค่าแอดดิวิตี้เฉลี่ย a_{\pm} มีค่าเท่ากับสัมประสิทธิ์ของแอดดิวิตี้เฉลี่ย γ_{\pm} คูณกับความเข้มข้นเฉลี่ย m_{\pm}

$$a_{\pm} = \gamma_{\pm} \text{m}_{\pm} \quad \text{---(2.6.9)}$$

$$\text{m}_{\pm} = (\text{m}_+^{\nu_+} \text{m}_-^{\nu_-})^{1/\nu} \quad \text{---(2.6.10)}$$

$$\gamma_{\pm} = (\gamma_+^{\nu_+} \gamma_-^{\nu_-})^{1/\nu} \quad \text{---(2.6.11)}$$

$$\gamma_{\pm} = a_{\pm} / (\text{m}_+^{\nu_+} \text{m}_-^{\nu_-})^{1/\nu} = a_{\pm} / \text{m}_{\pm} \quad \text{---(2.6.12)}$$

$$\text{m}_+ = v_- \text{m} \quad \text{---(2.6.13)}$$

$$\text{m}_- = v_+ \text{m} \quad \text{---(2.6.14)}$$

$$\gamma_{\pm} = a_{\pm} / \text{m} (v_+^{\nu_+} v_-^{\nu_-})^{1/\nu} \quad \text{---(2.6.15)}$$

ตัวอย่างเช่นสารละลายนามเรียบคลอไรด์ BaCl_2 ซึ่งเป็นเกลือคลอไรด์ของธาตุหมู่ที่ 2A ของตารางธาตุ ซึ่งมีความเข้มข้นเจือจางพอดี

$$a_+ = m \quad \text{---(2.6.16)}$$

$$a_- = 2m \quad \text{---(2.6.17)}$$

$$a_{\pm} = [(m)(2m)^2]^{1/3} = 2^{2/3} m \quad \text{---(2.6.18)}$$

$$\gamma_{\pm} = a_{\pm} / (2^{2/3} m) \quad \text{---(2.6.19)}$$

ซึ่งค่า γ_{\pm} จะมีค่าเป็นหนึ่งเมื่อสารละลายน้ำเจือจางมาก ๆ แบบอันตน (*infinite dilution*) หรือในกรณีของ $\text{La}_2(\text{SO}_4)_3$ ซึ่งมีไออุณมาก 2 ตัว ไอกุณลับ 3 ตัว จะสอดคล้องกับแพคเตอร์ $(2^2 3^3)^{1/6}$ เป็นต้น

การเปลี่ยนหน่วยความเข้มข้นจากหน่วยโมลาร์ (Molar) เป็น โมแอล (Molal)

หน่วยความเข้มข้นของสารละลายมีหลายชนิด ที่ใช้ในการวิจัยครั้งนี้สนใจ 2

ชนิด คือ

2.7.1 โมแอล คือจำนวนโมล (mole) ของตัวถุกละลายในหน่วยกิโลกรัมของตัวทำละลาย (solvent)

2.7.2 โมลาร์ คือจำนวนโมลของตัวถุกละลายในปริมาตรหนึ่งลิตรของสารละลาย (solution)

เช่น 1 โมแอล ของ NaCl เท่ากับ 58.5 กรัมของ NaCl ละลายในน้ำ 1 กิโลกรัม รวมเป็น 1058.5 กรัม ของสารละลาย แต่ 1 โมลาร์ ของ NaCl เท่ากับ 58.5 กรัมของ NaCl ละลายน้ำแล้วรวมกันสิ้น มีปริมาตร 1 ลิตร

ในทางปฏิบัติแล้ว สารละลายที่เจือจางมาก ๆ จะมีค่าของ โมแอล และ โมลาร์ ต่างกันน้อยมาก แต่ในทางทฤษฎีแล้วต่างกัน

ในการนี้ที่หาค่าแอดดิตีของสารละลาย จะมีตารางแสดงค่าสัมประสิทธิ์ของแอดดิตี ในหน่วยที่ต้องคูณกับความเข้มข้นเป็นโมแอล แต่ในทางปฏิบัติการเจือจางสารละลายใช้ความเข้มข้นเป็นโมลาร์สูงกว่ามาก ดังนั้นเพื่อให้ง่ายต่อการคำนวณ ให้เปลี่ยนเป็นหน่วยโมแอล เพื่อคำนวณหาค่าแอดดิตีได้ ความสัมพันธ์ของโมแอลและโมลาร์เป็นดังสมการ

$$M = \frac{1000 M}{1000 D + (M W)} \quad \text{---(2.7.1)}$$

เมื่อ π = ไม้แลล

M = ไม้ลาร

D = ความหนาแน่นของสารละลายหน่วยเป็นกรัมต่อลูกบาศก์เซนติเมตร

W = น้ำหนักไม้เลกุลของตัวถุกละลาย

น้ำหนักไม้เลกุลของสารและความหนาแน่นของสารละลายที่ใช้ในการวิจัยนี้ ได้

แสดงในตารางที่ ๒.๑ และ ๒.๒

ตาราง ท.1 แสดงค่าน้ำหนักโมเลกุลและความหนาแน่นของสารประกอบที่ใช้

ชื่อสาร	ค่าน้ำหนักโมเลกุล	ค่าความหนาแน่นของสารประกอบ
LiCl	42:39	2.068
NaCl	58.44	2.165
KCl	74.55	1.984
MgCl ₂	95.23	2.316 – 2.330
CaCl ₂	110.99	2.150

ตาราง ท.2 แสดงค่าความหนาแน่นที่ความเข้มข้นต่าง ๆ ของสารละลายน้ำ

ชื่อสาร	ค่าความหนาแน่น (กรัมต่อลูกบาศก์เซนติเมตร)						
	0.001	0.005	0.01	0.05	0.1	0.5	1
LiCl	1.0008	1.0009	1.0011	1.0019	1.0030	1.0116	1.0225
NaCl	1.0000	1.0000	1.0000	1.0015	1.0035	1.0188	1.0375
KCl	1.0000	1.0001	1.0003	1.0021	1.0043	1.0219	1.0438
MgCl ₂ .6H ₂ O	1.0017	1.0020	1.0023	1.0051	1.0086	1.0363	1.0710
CaCl ₂ .2H ₂ O	1.0040	1.0043	1.0047	1.0079	1.0119	1.0438	1.0837

ตาราง ท.3 แสดงความสัมพันธ์ของความเข้มข้นในหน่วยโมลาร์และหน่วยโมลล

สาร	ความเข้มข้น หน่วยโมลล (M)						
	0.001 (M)	0.005 (M)	0.01 (M)	0.05 (M)	0.1 (M)	0.5 (M)	1.0 (M)
LiCl	0.001	0.005	0.01	0.05	0.1	0.505	1.020
NaCl	0.001	0.005	0.01	0.05	0.1	0.505	1.021
KCl	0.001	0.005	0.01	0.05	0.1	0.508	1.032
MgCl ₂ .6H ₂ O	0.001	0.005	0.01	0.05	0.1	0.506	1.025
CaCl ₂ .2H ₂ O	0.001	0.005	0.01	0.05	0.1	0.506	1.028

ตาราง ๒.๔ แสดงความบริสุทธิ์ของสารที่ใช้

ชื่อสาร	ความบริสุทธิ์ (%)	ผู้ผลิตและที่อยู่
ลิเธียมคลอไรด์ (LiCl)	99	
โซเดียมคลอไรด์ (NaCl)	99.5	E.Merck
โปรดัตส์โซเดียมคลอไรด์ (KCl)	99	F.R. Germany
มักเนเซียมคลอไรด์ ($MgCl_2$)	99	
แคลเซียมคลอไรด์ ($CaCl_2$)	99.5	

ภาคผนวก ค.

ตาราง ค.1.1 แสดงค่า $\Delta\psi/\Delta T$ ของสารละลายนิรีขมคลอไรด์ (LiCl)

ความเข้มข้น	0.1	0.05	0.01	0.005	0.001
ค่า $\Delta\psi/\Delta T$	0.259	0.301	0.448	0.441	0.495
	0.280	0.300	0.432	0.413	0.480
	0.277	0.305	0.476	0.445	0.540
	0.286	0.300	0.467	0.423	0.541
	0.290	0.307	0.477	0.441	0.527
	0.286	0.304	0.502	0.431	0.530
ค่าเฉลี่ย	0.280	0.303	0.467	0.432	0.518

ตาราง C.2.1 แสดงค่า $\Delta\psi/\Delta T$ ของสารละลายนิโซเดียมคลอไรด์ (NaCl)

ความเข้มข้น	0.1	0.05	0.01	0.005	0.001
ค่า $\Delta\psi/\Delta T$	0.205	0.279	0.383	0.448	0.594
	0.209	0.274	0.400	0.454	0.561
	0.214	0.276	0.400	0.456	0.545
	0.213	0.270	0.363	0.451	0.533
	0.214	0.271	0.379	0.441	0.521
	0.218	0.268	0.383	0.498	0.513
ค่าเฉลี่ย	0.212	0.273	0.385	0.458	0.545

ตาราง ค.3.1 แสดงค่า $\Delta\psi/\Delta T$ ของสารละลายน้ำโซเดียมคลอไรด์ (KC1)

ความเข้มข้น	0.1	0.05	0.01	0.005	0.001
ค่า $\Delta\psi/\Delta T$	0.232	0.328	0.446	0.495	0.630
	0.252	0.347	0.460	0.509	0.613
	0.266	0.343	0.461	0.525	0.597
	0.268	0.348	0.462	0.531	0.584
	0.279	0.350	0.454	0.535	0.551
	0.284	0.356	0.464	0.538	0.547
ค่าเฉลี่ย	0.264	0.345	0.458	0.522	0.587

ตาราง C.4.1 แสดงค่า $\Delta\chi/\Delta T$ ของสารละลายนมกเนเชิ่มคลอไรด์ ($MgCl_2$)

ความเข้มข้น	0.1	0.05	0.01	0.005	0.001
ค่า $\Delta\chi/\Delta T$	0.036	0.054	0.102	0.116	0.182
	0.036	0.052	0.105	0.115	0.187
	0.035	0.052	0.098	0.109	0.113
	0.035	0.053	0.092	0.106	0.103
	0.039	0.054	0.100	0.110	0.146
	0.036	0.054	0.100	0.103	0.107
ค่าเฉลี่ย	0.036	0.053	0.100	0.110	0.140

ตาราง ค.5.1 แสดงค่า $\Delta\psi/\Delta T$ ของสารละลายน้ำ chloro (CaCl₂)

ความเข้มข้น	0.1	0.05	0.01	0.005	0.001
ค่า $\Delta\psi/\Delta T$	0.015	0.058	0.082	0.122	0.156
	0.017	0.058	0.084	0.128	0.166
	0.016	0.058	0.099	0.130	0.163
	0.017	0.059	0.110	0.119	0.144
	0.017	0.057	0.115	0.125	0.129
	0.016	0.054	0.116	0.123	0.124
ค่าเฉลี่ย	0.016	0.057	0.101	0.124	0.147

ตาราง C.1.2 แสดงผลการทดลองในสารละลายนิเตรียมคลอไรด์ (LiCl)

ความเข้มข้น	γ_{\pm}	a_{\pm}	$\Delta\psi/\Delta T$
0.100	0.796	0.080	0.280
0.050	0.827	0.041	0.303
0.010	0.881	0.009	0.467
0.005	1.00	0.005	0.432
0.001	1.00	0.001	0.518

ตาราง C.2.2 แสดงผลการทดลองในสารละลายนิโซเดียมคลอไรต์ (NaCl)

ความเข้มข้น	γ_{\pm}	a_{\pm}	$\Delta\Psi/\Delta T$
0.100	0.784	0.078	0.212
0.050	0.818	0.041	0.273
0.010	0.874	0.009	0.385
0.005	0.960	0.005	0.458
0.001	0.966	0.001	0.545

ตาราง ๘.๓.๒ แสดงผลการทดลองในสารละลายน้ำตัวสัมบูรณ์ (KCl)

ความเข้มข้น	γ_{\pm}	a_{\pm}	$\Delta\psi/\Delta T$
0.100	0.769	0.077	0.264
0.050	0.817	0.041	0.345
0.010	0.933	0.009	0.458
0.005	0.982	0.005	0.522
0.001	1.000	0.001	0.587

ตาราง C.4.2 แสดงผลการทดลองในสารละลายน้ำกานเชียมคลอไรด์ ($MgCl_2$)

ความเข้มข้น	γ_{\pm}	a_{\pm}	$\Delta\Psi/\Delta T$
0.100	0.533	0.085	0.036
0.050	0.550	0.044	0.053
0.010	0.591	0.009	0.100
0.005	0.608	0.005	0.110
0.001	0.649	0.001	0.140

ตาราง C.5.2 แสดงผลการทดลองในสารละลายน้ำแข็งคลอไรด์ (CaCl_2)

ความเข้มข้น	γ_{\pm}	a_{\pm}	$\Delta\Psi/\Delta T$
0.100	0.531	0.085	0.016
0.050	0.537	0.043	0.057
0.010	0.606	0.010	0.101
0.005	0.636	0.005	0.124
0.001	0.705	0.001	0.147

ภาคผนวก ง

ภาคผนวกนี้ได้แสดงรายละเอียดของ ไอซ์ที่ใช้ในวงจรของเครื่องควบคุมการเก็บ

ข้อมูล



Voltage References

LM136/LM236/LM336 2.5V Reference Diode

General Description

The LM136/LM236 and LM336 integrated circuits are precision 2.5V shunt regulator diodes. These monolithic IC voltage references operate as a low temperature coefficient 2.5V zener with 0.2Ω dynamic impedance. A third terminal on the LM136 allows the reference voltage and temperature coefficient to be trimmed easily.

The LM136 series is useful as a precision 2.5V low voltage reference for digital voltmeters, power supplies or op amp circuitry. The 2.5V make it convenient to obtain a stable reference from 5V logic supplies. Further, since the LM136 operates as a shunt regulator, it can be used as either a positive or negative voltage reference.

The LM136 is rated for operation over -55°C to +125°C while the LM236 is rated over a -25°C to +85°C

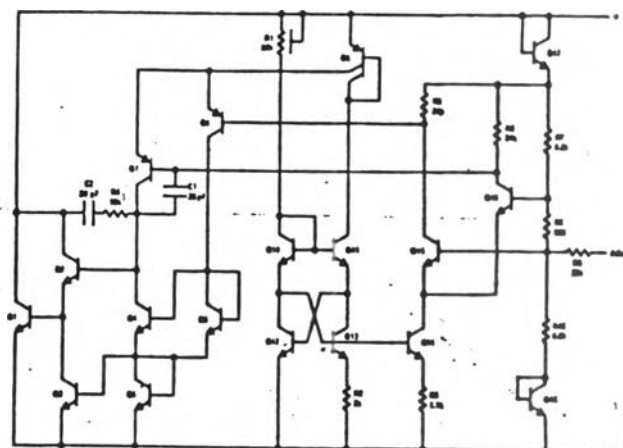
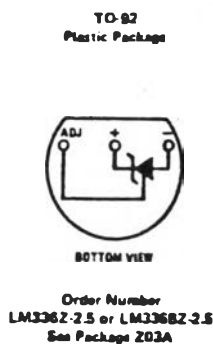
temperature range. Both are packaged in a TO-46 package. The LM336 is rated for operation over a 0°C to +70°C temperature range and is available in either a three lead TO-46 package or a TO-82 plastic package.

Features

- Low temperature coefficient
- Wide operating current of 300 μA to 10 mA
- 0.2Ω dynamic impedance
- ±1% initial tolerance available
- Guaranteed temperature stability
- Easily trimmed for minimum temperature drift
- Fast turn-on
- Three lead transistor package

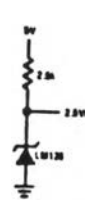
Schematic Diagram

Connection Diagrams

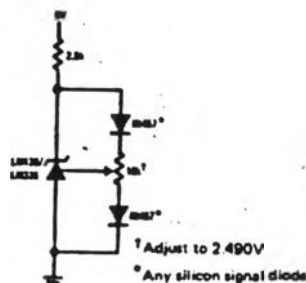


Typical Applications

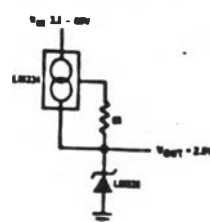
2.5V Reference



2.5V Reference with Minimum Temperature Coefficient



Wide Input Range Reference



ภาคผนวก จ.1 แสดงรายละเอียดของ LM336



The logo for National Semiconductor, featuring a stylized 'N' composed of three peaks of varying heights, followed by the company name "National Semiconductor" in a bold, sans-serif font.

Operational Amplifiers/Buffers

LM158/LM258/LM358, LM158A/LM258A/LM358A, LM2904

Low Power Dual Operational Amplifiers

General Description

The LM15B series consists of two independent, high gain, internally frequency compensated operational amplifiers which were designed specifically to operate from a single power supply over a wide range of voltages. Operation from split power supplies is also possible and the low power supply current drain is independent of the magnitude of the power supply voltage.

Application areas include transducer amplifiers, dc gain blocks and all the conventional op amp circuits which now can be more easily implemented in single power supply systems. For example, the LM158 series can be directly operated off of the standard +5 V_{DC} power supply voltage which is used in digital systems and will easily provide the required interface electronics without requiring the additional 115 V_{DC} power supplies. *

Unique Characteristics

- In the linear mode the input common mode voltage range includes ground and the output voltage can also swing to ground, even though operated from only a single power supply voltage.
 - The unity gain cross frequency is temperature compensated.
 - The input bias current is also temperature compensated.

Advantages

- Eliminates need for dual supplies
 - Two internally compensated op amps in a single package

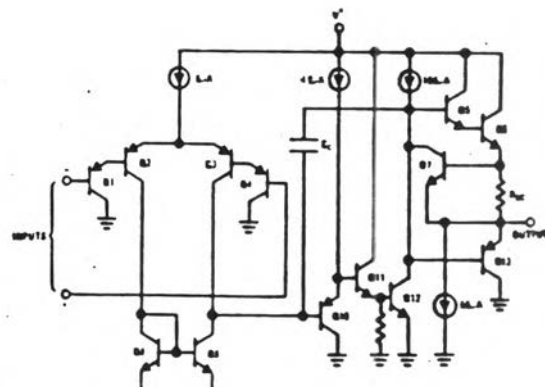
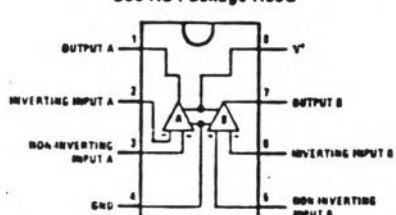
- Allows direct sensing near GND and V_{OUT} also goes to GND
 - Compatible with all forms of logic
 - Power drain suitable for battery operation
 - Pin-out same as LM1558/LM1458 dual operational amplifier

Features

- Internally frequency compensated for unity gain
 - Large dc voltage gain 100 dB
 - Wide band width (unity gain) 1 MHz
(temperature compensated)
 - Wide power supply range

Single supply	3 V _{DC} to 30 V _{DC}
or dual supplies	± 1.5 V _{DC} to ± 15 V _{DC}
 - Very low supply current drain (500 μ A) — essentially independent of supply voltage (1 mW/op amp at ± 5 V_{DC})
 - Low input biasing current (temperature compensated) 45 nA_{DC}
 - Low input offset voltage and offset current 2 mV_{DC}
5 nA_{DC}
 - Input common-mode voltage range includes ground
 - Differential input voltage range equal to the power supply voltage
 - Large output voltage swing 0 V_{DC} to V' = 1.5 V_{DC}

Connection Diagrams (Top Views) Schematic Diagram (Each Amplifier)





A to D, D to A

ADC0801, ADC0802, ADC0803, ADC0804, ADC0805 8-Bit μ P Compatible A/D Converters

General Description

The ADC0801, ADC0802, ADC0803, ADC0804 and ADC0805 are CMOS 8-bit successive approximation A/D converters which use a differential potentiometric ladder—similar to the 256R products. These converters are designed to allow operation with the NSC800 and INS8080A derivative control bus, and TRI-STATE® output latches directly drive the data bus. These A/Ds appear like memory locations or I/O ports to the microprocessor and no interfacing logic is needed.

A new differential analog voltage input allows increasing the common-mode rejection and offsetting the analog zero input voltage value. In addition, the voltage reference input can be adjusted to allow encoding any smaller analog voltage span to the full 8 bits of resolution.

- Differential analog voltage inputs
- Logic inputs and outputs meet both MOS and T2L voltage level specifications
- Works with 2.5V (LM336) voltage reference
- On-chip clock generator
- 0V to 5V analog input voltage range with single 5V supply
- No zero adjust required
- 0.3" standard width 20 pin DIP package
- Operates ratiometrically or with 5 VDC, 2.5 VDC, or analog span adjusted voltage reference

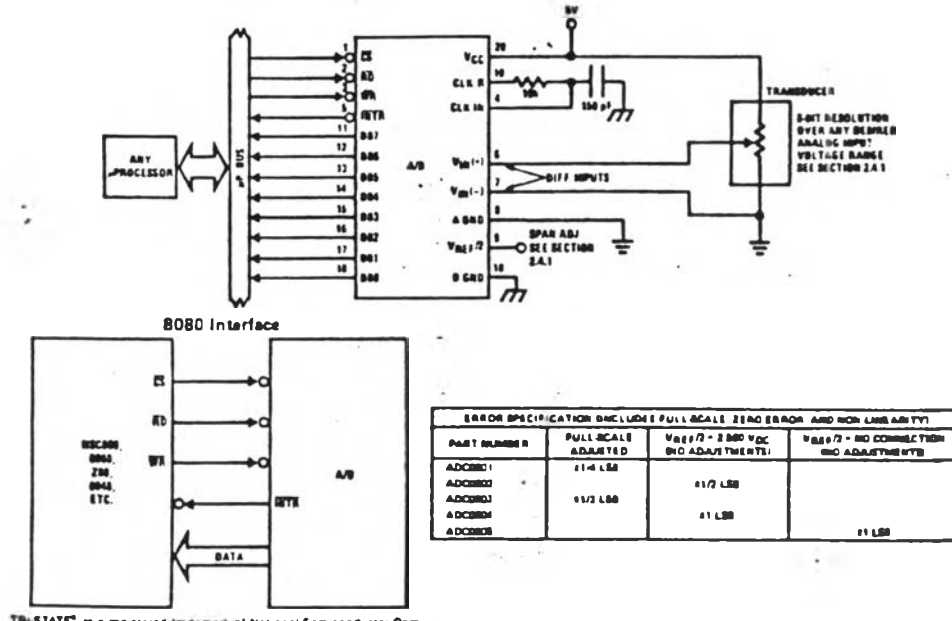
Key Specifications

■ Resolution	8 bits
■ Total error	$\pm 1/4$ LSB, $\pm 1/2$ LSB and ± 1 LSB
■ Conversion time	100 μ s

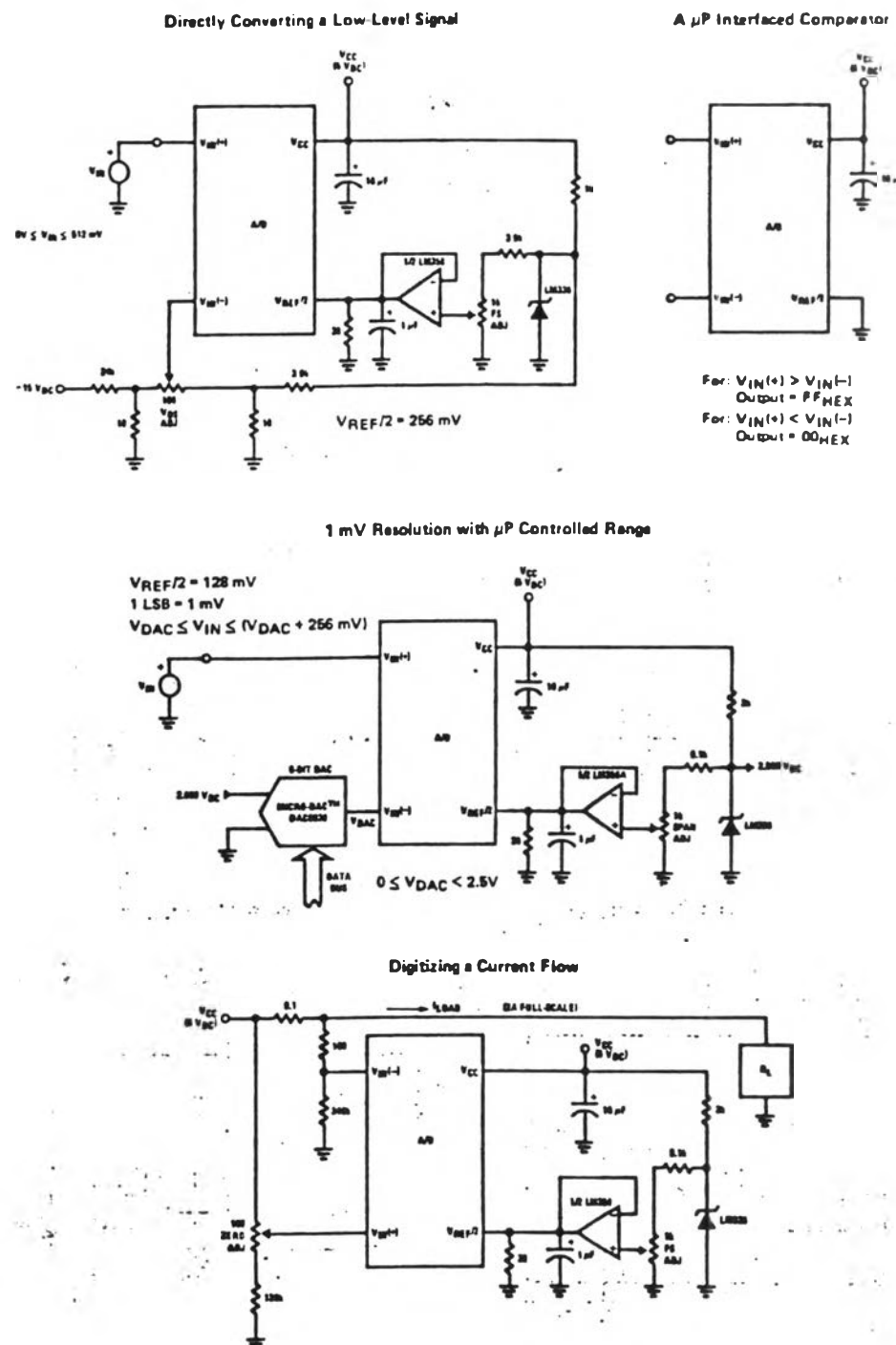
Features

- Compatible with 8080 μ P derivatives—no interfacing logic needed — access time — 135 ns
- Easy interface to all microprocessors, or operates "stand alone"

Typical Applications



Typical Applications (Continued)



ภาคผนวก ง.4 แสดงรายละเอียดของ ADC0804 (ต่อ)



LF351 Wide Bandwidth JFET Input Operational Amplifier

General Description

The LF351 is a low cost high speed JFET input operational amplifier with an internally trimmed input offset voltage (BI-FET II™ technology). The device requires a low supply current and yet maintains a large gain bandwidth product and a fast slew rate. In addition, well matched high voltage JFET input devices provide very low input bias and offset currents. The LF351 is pin compatible with the standard LM741 and uses the same offset voltage adjustment circuitry. This feature allows designers to immediately upgrade the overall performance of existing LM741 designs.

The LF351 may be used in applications such as high speed integrators, fast D/A converters, sample-and-hold circuits and many other circuits requiring low input offset voltage, low input bias current, high input impedance, high slew rate and wide bandwidth. The device has low noise and offset voltage drift, but for applica-

Operational Amplifiers/Buffers

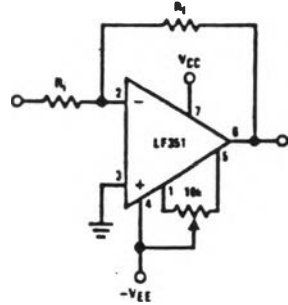


tions where these requirements are critical, the LF356 is recommended. If maximum supply current is important, however, the LF351 is the better choice.

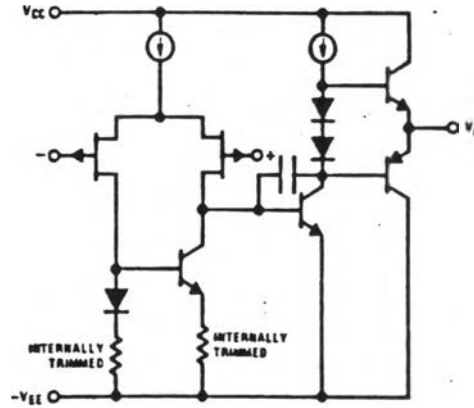
Features

■ Internally trimmed offset voltage	10 mV
■ Low input bias current	50 pA
■ Low input noise voltage	18 nV/ $\sqrt{\text{Hz}}$
■ Low input noise current	0.01 pA/ $\sqrt{\text{Hz}}$
■ Wide gain bandwidth	4 MHz
■ High slew rate	13 V/ μs
■ Low supply current	1.8 mA
■ High input impedance	10 12Ω
■ Low total harmonic distortion $A_V = 10$, $R_L = 10\text{k}\Omega$, $V_0 = 20\text{ Vp-p}$, $BW = 20\text{ Hz-20 kHz}$	<0.02%
■ Low 1/f noise corner	50 Hz
■ Fast settling time to 0.01%	2 μs

Typical Connection

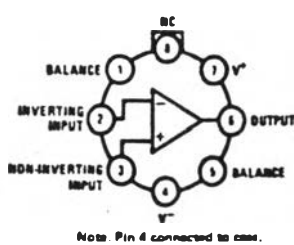


Simplified Schematic



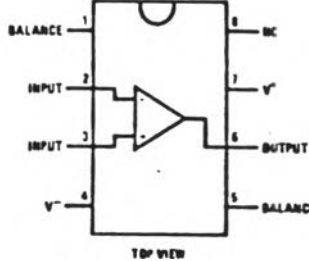
Connection Diagrams (Top Views)

Metal Can Package



Order Number LF351H
See NS Package H08C

Dual-In-Line Package



Order Number LF351N
See NS Package N08A

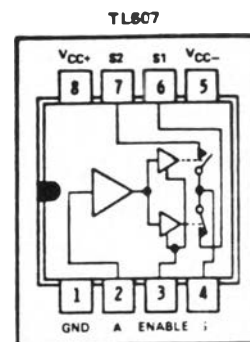
LINEAR INTEGRATED CIRCUITS

TYPES TL601, TL604, TL607, TL610 P-MOS ANALOG SWITCHES

BULLETIN NO. DL-S 12401, JUNE 1976—REVISED OCTOBER 1977

- Switches ± 10 -V Analog Signals
- TTL/DTL Logic Capability
- 5- to 30-V Supply Ranges
- Low ($100\ \Omega$) On-State Resistance
- High ($10^{11}\ \Omega$) Off-State Resistance
- 8-Pin Functions

JG OR P DUAL-IN-LINE PACKAGE (TOP VIEW)



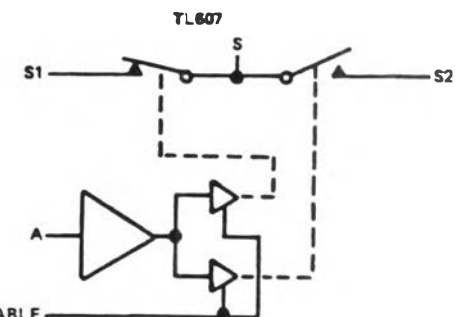
description

The TL601, TL604, TL607, and TL610 are a family of monolithic P-MOS analog switches that provide fast switching speeds with high r_{off}/r_{on} ratio and no offset voltage. The p-channel enhancement-type MOS switches will accept analog signals up to ± 10 volts and are controlled by TTL-compatible logic inputs. The monolithic structure is made possible by Bi-MOS technology, which combines p-channel MOS with standard bipolar transistors.

These switches are particularly suited for use in military, industrial, and commercial applications such as data acquisition, multiplexers, A/D and D/A converters, MODEMS, sample-and-hold systems, signal multiplexing, integrators, programmable operational amplifiers, programmable voltage regulators, crosspoint switching networks, logic interface, and many other analog systems.

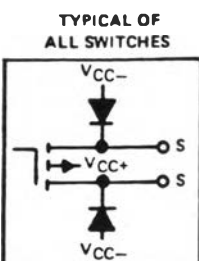
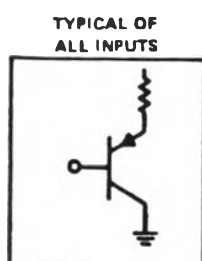
The TL601 is an SPDT switch with two logic control inputs. The TL604 is a dual complementary SPST switch with a single control input. The TL607 is an SPDT switch with one logic control input and one enable input. The TL610 is an SPST switch with three logic control inputs. The TL610 features a higher r_{off}/r_{on} ratio than the other members of the family.

The TL601M, TL604M, TL607M, and TL610M are characterized for operation over the full military temperature range of -55°C to 125°C , the TL601I, TL604I, TL607I, and TL610I are characterized for operation from -25°C to 85°C , and the TL601C, TL604C, TL607C, and TL610C are characterized for operation from 0°C to 70°C .



FUNCTION TABLE

INPUTS	ANALOG SWITCH			
	A	ENABLE	S1	S2
X	L		OFF (OPEN)	OFF (OPEN)
L	H		OFF (OPEN)	ON (CLOSED)
H	H		ON (CLOSED)	OFF (OPEN)




MOTOROLA

DESCRIPTION — The LSTTL MSI/SN54LS 74LS138 is a high speed 1-of-8 Decoder Demultiplexer. This device is ideally suited for high speed bipolar memory chip select address decoding. The multiple input enables allow parallel expansion to a 1-of-24 decoder using just three LS138 devices or to a 1-of-32 decoder using four LS138s and one inverter. The LS138 is fabricated with the Schotky barrier diode process for high speed and is completely compatible with all Motorola TTL families.

- DEMULTIPLEXING CAPABILITY
- MULTIPLE INPUT ENABLE FOR EASY EXPANSION
- TYPICAL POWER DISSIPATION OF 32 mW
- ACTIVE LOW MUTUALLY EXCLUSIVE OUTPUTS
- INPUT CLAMP DIODES LIMIT HIGH SPEED TERMINATION EFFECTS

PIN NAMES

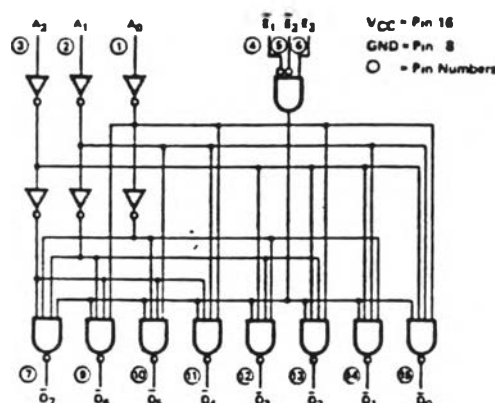
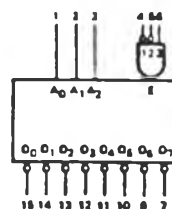
A ₀ — A ₂	Address Inputs
E ₁ , E ₂	Enable (Active LOW) Inputs
E ₃	Enable (Active HIGH) Input
O ₀ — O ₇	Active LOW Outputs (Note b)

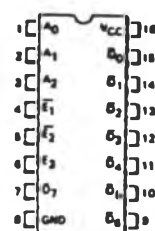
LOADING (Note a)

HIGH	LOW
0.5 U.L.	0.25 U.L.
0.5 U.L.	0.25 U.L.
0.5 U.L.	0.25 U.L.
10 U.L.	8(2.5) U.L.

NOTES:

- a 1 TTL Unit Load (U.L.) = 40 μ A HIGH/1.6 mA LOW.
- b The Output LOW drive factor is 2.5 U.L. for Military (54) and 5 U.L. for Commercial (74) Temperature Ranges.

LOGIC DIAGRAM

**SN54LS138
SN74LS138**
**1-OF-8-DECODER/
DEMULITPLEXER
LOW POWER SCHOTTKY**
LOGIC SYMBOL

VCC = Pin 16
GND = Pin 8

**CONNECTION DIAGRAM
DIP (TOP VIEW)**

J Suffix — Case 620-08 (Ceramic)
N Suffix — Case 848-05 (Plastic)

NOTE
The Plastic version has the same pinouts (Connection Diagram) as the Dual In Line Package.

TRUTH TABLE

INPUTS						OUTPUTS							
\bar{E}_1	\bar{E}_2	\bar{E}_3	A_0	A_1	A_2	\bar{O}_0	\bar{O}_1	\bar{O}_2	\bar{O}_3	\bar{O}_4	\bar{O}_5	\bar{O}_6	\bar{O}_7
H	X	X	X	X	X	H	H	H	H	H	H	H	H
X	H	X	X	X	X	H	H	H	H	H	H	H	H
X	X	L	X	X	X	H	H	H	H	H	H	H	H
L	L	H	L	L	L	L	H	H	H	H	H	H	H
L	L	H	H	L	L	H	L	H	H	H	H	H	H
L	L	H	L	H	L	H	H	L	H	H	H	H	H
L	L	H	H	H	L	H	H	H	L	H	H	H	H
L	L	H	L	L	H	H	H	H	H	L	H	H	H
L	L	H	H	L	H	H	H	H	H	H	L	H	H
L	L	H	L	H	H	H	H	H	H	H	H	L	H
L	L	H	H	H	H	H	H	H	H	H	H	H	L

H = HIGH Voltage Level

L = LOW Voltage Level

X = Don't Care

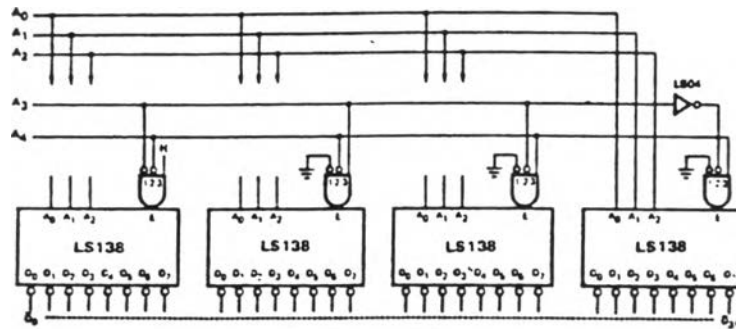


Fig. 8.

AC WAVEFORMS

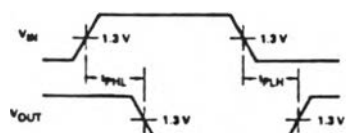


Fig. 1

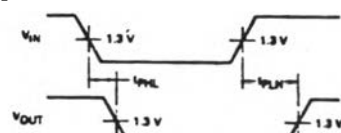


Fig. 2

ภาคผนวก จ.8 แสดงรายละเอียดของ LS138 (ต่อ)



MOTOROLA

DESCRIPTION The SN54LS 74LS373 consists of eight latches with 3 state outputs for bus oriented system applications. The flip flops appear transparent to the data (data changes asynchronously) when Latch Enable (LE) is HIGH. When LE is LOW, the data that meets the setup times is latched. Data appears on the bus when the Output Enable (\bar{OE}) is LOW. When \bar{OE} is HIGH the bus output is in the high impedance state.

The SN54LS 74LS374 is a high-speed, low power Octal D type Flip-Flop featuring D-type inputs for each flip flop and 3-state outputs for bus oriented applications. A buffered Clock (CP) and Output Enable (\bar{OE}) is common to all flip flops. The SN54LS 74LS374 is manufactured using advanced Low Power Schottky technology and is compatible with all Motorola TTL families.

- EIGHT LATCHES IN A SINGLE PACKAGE
- 3-STATE OUTPUTS FOR BUS INTERFACING
- HYSTERESIS ON LATCH ENABLE
- EDGE-TRIGGERED D-TYPE INPUTS
- BUFFERED POSITIVE EDGE-TRIGGERED CLOCK
- HYSTERESIS ON CLOCK INPUT TO IMPROVE NOISE MARGIN
- INPUT CLAMP DIODES LIMIT HIGH SPEED TERMINATION EFFECTS

PIN NAMES

	D0-D7	Data Inputs	LOADING (Note a)	
			HIGH	LOW
	LE	Latch Enable (Active HIGH) Input	0.5 UL	0.25 UL
	CP	Clock (Active HIGH going edge) Input	0.5 UL	0.25 UL
	\bar{OE}	Output Enable (Active LOW) Input	0.5 UL	0.25 UL
	O0—O7	Outputs (Note b)	65(25)UL	15(7.5)UL

NOTES

- a. 1 TTL Unit Load (UL) = 40 μ A HIGH / 18 μ A LOW
- b. The Output LOW drive factor is 7.5 UL for Military and 25 UL for Commercial (74). Temperature Ranges: The Output HIGH drive factor is 25 UL for Military (54) and 65 UL for Commercial (74) Temperature Ranges.

TRUTH TABLE

LS373			
Dn	LE	\bar{OE}	On
H	H	L	H
L	H	L	L
X	X	H	Z*

H = HIGH Voltage Level
L = LOW Voltage Level
X = Immaterial
Z = High Impedance

*Note: Content of the flops unaffected by the state of the Output Enable input (\bar{OE})

LS374			
Dn	CP	\bar{OE}	On
H	—	L	H
L	—	L	L
X	X	H	Z*

SN54LS/74LS373 SN54LS/74LS374

OCTAL TRANSPARENT LATCH WITH 3-STATE OUTPUTS:

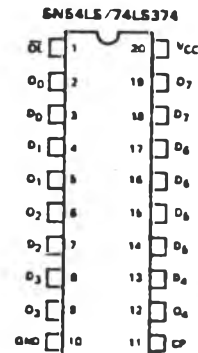
OCTAL D-TYPE FLIP-FLOP WITH 3 STATE OUTPUT

LOW POWER SCHOTTKY

CONNECTION DIAGRAM DIP (TOP VIEW)



CONNECTION DIAGRAM DIP (TOP VIEW)

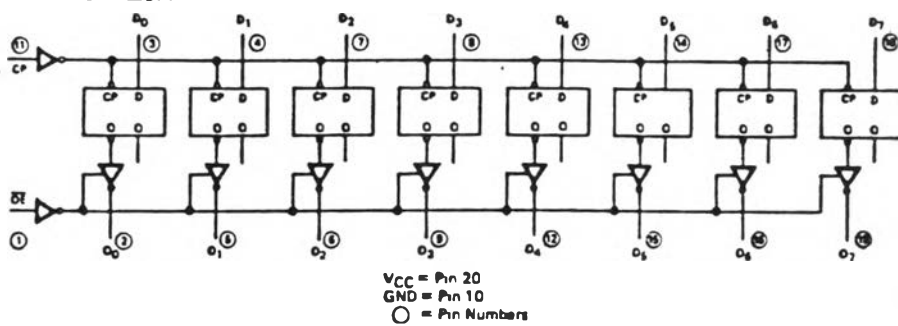


J SMT — Case 732-03 (Ceramic)
N SMT — Case 738-01 (Plastic)

NOTE:

The Flatpack version has the same pinouts (Connection Diagram) as the Dual In-Line Package

SN54LS/74LS374



GUARANTEED OPERATING RANGES

SYMBOL	PARAMETER		MIN	TYP	MAX	UNIT
V_{CC}	Supply Voltage	54 74	4.5 4.75	5.0 5.0	5.5 5.26	V
T_A	Operating Ambient Temperature Range	64 74	-65 0	25 25	125 70	°C
I_{OH}	Output Current — High	54 74			-1.0 -2.6	mA
I_{OL}	Output Current — Low	54 74			12 24	mA

AC WAVEFORMS

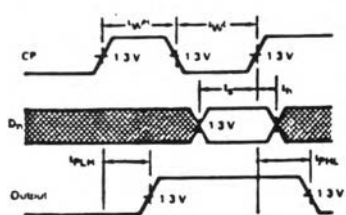


Fig. 6

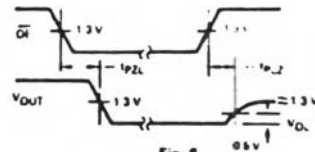


Fig. 6

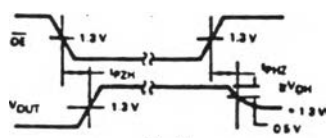


Fig. 7

AC LOAD CIRCUIT

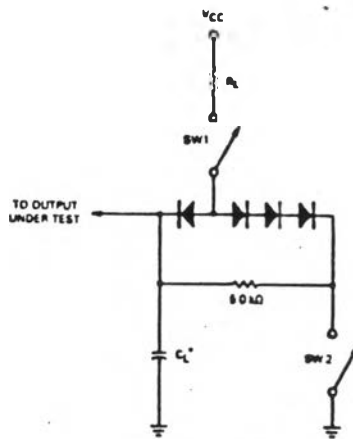


Fig. 8

ภาคผนวก ง.10 แสดงรายละเอียดของ LS374 (ต่อ)

SWITCH POSITIONS	SW1	SW2
i_{PLH}	Open	Closed
i_{PLL}	Closed	Open
i_{PL2}	Closed	Closed
i_{PLZ}	Closed	Closed

]LIST

```

10 AD = 49344: REM *COCO*
20 N = 10000
30 S = 1: REM *T-SWITCH*
40 XX = 0
50 POKE AD + 2,S
60 FOR I = 1 TO N
70 POKE AD + 1,0
80 X = PEEK (AD)
90 XX = XX + X
100 NEXT I
110 X = XX / N
120 X = INT (X * 100 + 0.5) / 100
130 PRINT X
140 PRINT CHR$ (7)
150 GET A$
160 RUN

```

ຊຸດຄໍາສັ່ງກີ່ ຈ.1

]LIST

```

10 AD = 49344: REM *COCO*
20 N = 10000
30 S = 3: REM *P-SWITCH*
40 XX = 0
50 POKE AD + 2,S
60 FOR I = 1 TO N
70 POKE AD + 1,0
80 X = PEEK (AD)
90 XX = XX + X
100 NEXT I
110 X = XX / N
120 X = INT (X * 100 + 0.5) / 100
130 PRINT X
140 PRINT CHR$ (7)
150 GET A$
160 RUN

```

ຊຸດຄໍາສັ່ງກີ່ ຈ.2

ชุดคำสั่งที่ ๓.๓

```

10 REM * Main control *
100 DIM ST(3),IT(3),SP(5),IP(5),T(200),P(200)
120 GOSUB 1100: REM * Input condition & Set parameter *

130 PRINT : PRINT D$;"BLOAD BIO4"
140 PRINT "Press any key for start record ": GET A$
160 PRINT "and press S key for stop"
170 PRINT
180 PRINT "No.";; HTAB (12): PRINT "Tem. (C)":; HTAB (28)
: PRINT "Pot. (mV)"
190 PRINT
200 FOR I = 1 TO 200
220 GOSUB 2100: REM * Data record *
240 GOSUB 3100: REM * Compute real data *
260 GOSUB 4100: REM * Timer *
280 IF SFLAG = 0 THEN I = 200
300 N = N + 1
320 NEXT I
340 N = N - 1
360 GOSUB 5100: REM * Save file *
900 END
999 REM -----
1000 REM * Input condition & Set parameter *
1100 INPUT "Channel of potential amp. (1-5) : ";CP: PRINT
: IF CP < > INT (CP) OR CP < 1 OR CP > 5 THEN GOTO
1100
1120 INPUT "Channel of temperature amp. (1-3) : ";CT: PRINT
: IF CT < > INT (CT) OR CT < 1 OR CT > 3 THEN GOTO
1120
1140 INPUT "Data record time (>= 3 sec.) : ";DRT: PRINT
: IF DRT < 3 THEN GOTO 1140
1160 A1 = 20480: REM * $5000 : START PROGRAM ADDRESS *
1180 A2 = 20739: REM * $5103 *
1200 A3 = 49152: REM * $C000 : Keyboard data input *
1220 A4 = 49346: REM * $C0C2 *
1240 TS = 1: REM * T-Switch *
1260 PS = 3: REM * P-Switch *
1280 ST(1) = - 7.5459E - 03:IT(1) = 0.8662
1300 ST(2) = - 0.0115:IT(2) = 1.4302
1320 ST(3) = - 0.0153:IT(3) = 1.9777
1340 SP(1) = - 2.3925E - 3:IP(1) = 0.3148
1360 SP(2) = - 0.0246:IP(2) = 3.4165
1380 SP(3) = - 0.2272:IP(3) = 32.4598
1400 SP(4) = - 2.3025:IP(4) = 330.0477
1420 SP(5) = - 22.8635:IP(5) = 3266.9910
1440 N = 1:D$ = CHR$ (4):SFLAG = 1
1460 R = 10.E - 3
1480 M = INT ((DRT - 2.43) / R + 0.5)
1900 RETURN
1999 REM -----
2000 REM * Data record *

```

```

2100 POKE A4,TS
2120 FOR J = 1 TO 3
2140 CALL A1
2160 NEXT J
2180 T0 = PEEK (A2):T1 = PEEK (A2 + 1):T2 = PEEK (A2 +
2)
2200 T = (T2 * 256 ^ 2 + T1 * 256 + T0) / 1000
2220 POKE A4,PS
2240 FOR J = 1 TO 3
2260 CALL A1
2280 NEXT J
2300 P0 = PEEK (A2):P1 = PEEK (A2 + 1):P2 = PEEK (A2 +
2)
2320 P = (P2 * 256 ^ 2 + P1 * 256 + P0) / 1000
2900 RETURN
2999 REM -----
3000 REM * Compute real data *
3100 T(N) = INT ((ST(CT) * T + IT(CT)) / 40.8E - 3 * 10 +
0.5) / 10
3120 P(N) = INT ((SP(CP) * P + IP(CP)) * 1000 + 0.5) / 10
00
3140 PRINT N;: HTAB (15): PRINT T(N);: HTAB (28): PRINT P
(N)
3900 RETURN
3999 REM -----
4000 REM * Timer *
4100 FOR J = 1 TO M
4120 X = PEEK (A3)
4140 IF X = 211 THEN J = M:SFLAG = 0
4160 NEXT J
4900 RETURN
4999 REM -----
5000 REM * Save file *
5100 INPUT "FILE NAME : ";NAME$
5120 PRINT : PRINT
5140 PRINT D$;"OPEN ";NAME$
5160 PRINT D$;"WRITE ";NAME$
5180 PRINT N * 2
5200 FOR J = 1 TO N
5220 PRINT T(J)
5240 PRINT P(J)
5260 NEXT J
5280 PRINT D$;"CLOSE ";NAME$
5900 RETURN
5999 REM -----

```

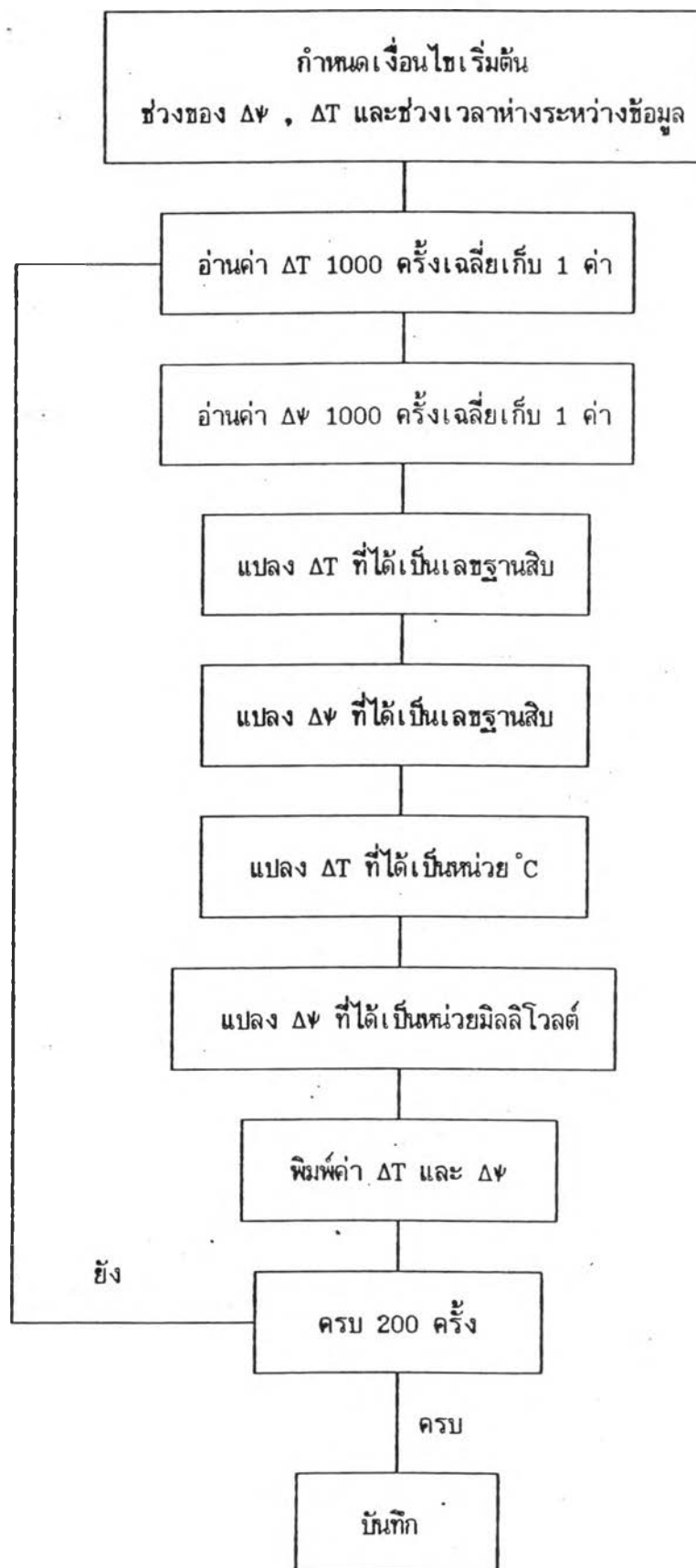
]

ชุดคำสั่งที่ ๒.๔

5000-	08	PHP	
5001-	48	PHA	
5002-	A9 00	LDA	#\$00
5004-	8D 03 51	STA	\$5103
5007-	8D 04 51	STA	\$5104
500A-	8D 05 51	STA	\$5105
500D-	A9 04	LDA	#\$04
500F-	8D 00 51	STA	\$5100
5012-	A9 FA	LDA	#\$FA
5014-	8D 01 51	STA	\$5101
5017-	A9 20	LDA	#\$20
5019-	8D 02 51	STA	\$5102
501C-	A9 00	LDA	#\$00
501E-	8D C1 C0	STA	\$C0C1
5021-	CE 02 51	DEC	\$5102
5024-	D0 FB	BNE	\$5021
5026-	18	CLC	
5027-	AD C0 C0	LDA	\$C0C0
502A-	6D 03 51	ADC	\$5103
502D-	8D 03 51	STA	\$5103
5030-	A9 00	LDA	#\$00
5032-	6D 04 51	ADC	\$5104
5035-	8D 04 51	STA	\$5104
5038-	A9 00	LDA	#\$00
503A-	6D 05 51	ADC	\$5105
503D-	8D 05 51	STA	\$5105
5040-	CE 01 51	DEC	\$5101
5043-	F0 03	BEQ	\$5048
5045-	4C 17 50	JMP	\$5017
5048-	CE 00 51	DEC	\$5100
504B-	F0 08	BEQ	\$5055
504D-	A9 FA	LDA	#\$FA
504F-	8D 01 51	STA	\$5101
5052-	4C 17 50	JMP	\$5017
5055-	68	PLA	
5056-	28	PLP	
5057-	60	RTS	
5058-	00	BRK	
5059-	00	BRK	
505A-	00	BRK	

*

ขั้นตอนการทำงานของชุดคำสั่ง



ประวัติผู้เขียน

นางสาว มาลี ชนะสาร เกิดวันที่ 26 กรกฎาคม พ.ศ.2507 ที่เขตพญาไท
 จังหวัดกรุงเทพมหานคร ส่วนราชการศึกษาปริญญาวิทยาศาสตรบัณฑิต (สาขาวิชาฟิสิกส์) จาก
 จุฬาลงกรณ์มหาวิทยาลัย เมื่อปีการศึกษา 2529 จากนั้นเข้าศึกษาต่อระดับปริญญาโทที่
 ภาควิชาฟิสิกส์ บัณฑิตวิทยาลัย จุฬาลงกรณ์มหาวิทยาลัย

